

## О ПРИРОДЕ ИНДУЦИРОВАННОГО МАГНИТНЫМ ПОЛЕМ ПЕРЕХОДА МЕТАЛЛ—ДИЭЛЕКТРИК В $n\text{-Cd}_x\text{Hg}_{1-x}\text{Te}$

Аронзон Б. А., Никитин М. С., Сусов Е. В., Чумаков Н. К.

Обсуждаются различные модели перехода металл—диэлектрик, наблюдаемого в легированных полупроводниковых кристаллах  $n\text{-Cd}_x\text{Hg}_{1-x}\text{Te}$  под действием магнитного поля. Проведены измерения гальваномагнитных свойств  $n\text{-Cd}_x\text{Hg}_{1-x}\text{Te}$  [ $x=0.16\text{--}0.22$ ;  $n=(1\text{--}13)\cdot 10^{14} \text{ см}^{-3}$ ] в магнитных полях  $H \leq 70 \text{ кЭ}$  при  $1.4 \leq T \leq 25 \text{ К}$ . Получена зависимость поля перехода от степени компенсации образца, однозначно свидетельствующая в пользу модели, связанной с локализацией электронов в ямах флюктуационного потенциала.

В литературе в настоящее время интенсивно обсуждается природа индуцированного магнитным полем перехода металл—диэлектрик, наблюдающегося в узкощелевых полупроводниках, в основном в  $\text{Cd}_x\text{Hg}_{1-x}\text{Te}$  [1—6]. Удивительной особенностью данного перехода является слабая температурная зависимость постоянной Холла  $R_H$ , в то время как удельное сопротивление  $\rho$  экспоненциально зависит от температуры, что и следует ожидать в случае диэлектрика. В качестве модели такого перехода предлагаются: 1) вигнеровская кристаллизация или образование вязкой электронной жидкости [1, 2]; 2) локализация электронов во флюктуационном потенциале [3, 4]; 3) магнитное вымораживание [5]; 4) образование «холловского диэлектрика» [6].

Возможность образования вигнеровского кристалла, а точнее — вязкой электронной жидкости связывается с ростом энергии электрон-электронного взаимодействия по отношению к энергии Ферми  $\varepsilon_F$ , поскольку в квантовом пределе магнитных полей энергия Ферми быстро уменьшается с ростом напряженности магнитного поля  $H$ ,  $\varepsilon_F \sim 1/H^2$ .

Под локализацией электронов во флюктуационном потенциале мы понимаем их локализацию в крупномасштабных ямах случайного потенциала, образованного флюктуациями концентрации заряженных примесей. Переход металл—диэлектрик, предсказанный в [7], происходит, когда уровень Ферми, опускающийся с ростом магнитного поля, пересекает уровень протекания. Здесь следует различать случаи [7]: а) классической локализации — размер оптимальной флюктуации превосходит длину волны электрона; б) квантовой локализации — размер оптимальной флюктуации, в которой локализуется электрон, вдоль магнитного поля  $H \parallel z$  ограничен длиной волны электрона  $l_{||} = \hbar/p_z$ ;  $p_z$  — импульс электрона вдоль магнитного поля. Однако в направлении, перпендикулярном магнитному полю, размер флюктуации  $l_{\perp} \gg \lambda = (\hbar c/eH)^{1/2}$  — магнитной длины, и движение электрона остается классическим.

«Холловским диэлектриком» названо состояние, которое предположительно может возникать при увеличении с ростом магнитного поля квантовых поправок к проводимости за счет электрон-электронного взаимодействия до величин  $\Delta\sigma/\sigma \sim 1$ ; напомним, что в этом случае  $\Delta\sigma < 0$  [6].

Острая дискуссия, развернувшаяся вокруг различных моделей перехода, сводится в основном к тому, что авторы показывают, каким образом отстаиваемая ими модель объясняет указанную выше (слабую температурную зависимость постоянной Холла) особенность перехода. В недавних работах [3, 4] подробно

разбираются аргументы сторонников вигнеровской кристаллизации и показано, что и в модели флюктуационного потенциала наблюдаемые явления могут быть столь же удовлетворительно объяснены.

Таким образом, само наличие перехода и основные свойства диэлектрика во всех указанных моделях объясняются достаточно успешно, поэтому представленные в работах [1-6] рассуждения нельзя считать убедительным свидетельством в пользу одной из точек зрения.

В качестве другого аргумента в пользу одной из моделей перехода выдвигается качественное совпадение теоретических и экспериментальных значений и концентрационных зависимостей поля  $H_c$ , в котором наблюдается переход.

В разных моделях  $H_c$  определяется следующими соотношениями [7, 8]:

$$H_W^* = n^{*5/6}, \quad (1)$$

$$H_M^* = \frac{1}{\delta^3} n^*, \quad (2)$$

$$K_q^* = n^* \frac{1 - K}{1 + K}, \quad (3)$$

$$H_{cl}^* = n^{*5/6} \left( \frac{1 - K}{1 + K} \right)^{1/3}. \quad (4)$$

Для удобства сравнения результатов, полученных на образцах с разными эффективными массами, концентрациями, разного состава  $x$ , мы здесь используем безразмерные переменные  $n^* = na_B^3$ ,  $H^* = a_B^3/\lambda^2$ , где  $n$  — концентрация,  $a_B$  — боровский радиус электронов,  $H_W^*$ ,  $H_M^*$ ,  $H_q^*$ ,  $H_{cl}$  — соответственно поля перехода для вигнеровской кристаллизации, магнитного вымораживания на отдельные доноры, квантовой и классической локализации во флюктуационном потенциале,  $K = N_A/N_D$  — степень компенсации примесей ( $N_A$ ,  $N_D$  — соответственно концентрации акцепторов и доноров).

Видно, что концентрационные зависимости полей перехода для разных моделей очень близки. Что же касается численных коэффициентов в соотношениях (1)–(4) (нами сознательно опущенных),<sup>1</sup> то они известны лишь очень приближенно и недостаточно сильно отличаются друг от друга. Поэтому сравнение теоретических и экспериментальных значений поля перехода или их концентрационных зависимостей также не может помочь в выборе модели перехода. В то же время, как видно из соотношений (1)–(4), существует параметр — степень компенсации, зависимость поля перехода от которого в каждом из представленных случаев различна. Тем самым исследование зависимости  $H_c(K)$  может позволить выяснить природу перехода.

Предварительно отметим, что случаи классической и квантовой локализации во флюктуационном потенциале различаются размером области локализации электронов, т. е. размером оптимальной флюктуации. Последний, в свою очередь, зависит от концентрации заряженных примесей и свободных электронов, следовательно, от  $K$ . При больших значениях  $K$  реализуется классический случай, при малых — квантовый. Если в соотношениях (3), (4) учесть коэффициенты, можно получить, что переход от классической к квантовой локализации происходит при  $K = K_c$ ;  $K_c = (1 - A)/(1 + A)$ ,  $A = (1/2^2\epsilon_F)(N_t a_B^3)^{-1/3}$ ,  $N_t = N_D + N_A$ . При очень низкой компенсации  $K \rightarrow 0$ , когда в объеме флюктуации заключена всего одна примесь, квантовая локализация во флюктуационном потенциале сводится к магнитному вымораживанию на отдельные доноры [7].

Рассмотрение перехода на языке квантовых поправок при  $\Delta\sigma/\sigma \rightarrow 1$  [6] по существу также эквивалентно квантовой локализации, так как и то и другое, вообще говоря, есть андерсоновская локализация в случайному потенциале, и в обоих случаях переход наступает, когда  $\hbar\tau/\epsilon_F \sim 1$  [6, 7], где  $\tau$  — время релаксации импульса.

Таким образом, модели переходов 2 и 4, по-видимому, физически эквивалентны, а области применимости моделей 2 и 3 различаются степенью компенса-

<sup>1</sup> Исключение составляет  $H_M^*$ .

ции; в то же время вигнеровская кристаллизация представляет собой альтернативную модель. Выбор соответствующей эксперименту модели проведем с помощью анализа зависимости значения напряженности магнитного поля в точке перехода металл—диэлектрик от степени компенсации образца. Изучение перехода проводилось с помощью гальваномагнитных измерений на образцах  $n\text{-Cd}_x\text{Hg}_{1-x}\text{Te}$  [ $x=0.16 \div 0.22$ ;  $n=(1 \div 3) \cdot 10^{14} \text{ см}^{-3}$ ] в полях  $H \leqslant 70 \text{ кЭ}$  при  $1.4 \leqslant T \leqslant 25 \text{ К}$ . Наличие перехода устанавливалось аналогично тому, как это проделано в работе [3].

Прежде чем обсуждать зависимость  $H_c(K)$ , отметим, что в разных работах применяются различные экспериментальные способы определения поля перехода. В частности, в качестве поля перехода принимаются: а) поле, в котором появляется температурная зависимость  $\rho_{xx}$  или  $\rho_{zz}$  [2]; б) поле, в котором начинается спад в зависимости  $R_H(H)$  [4]; в) поле, в котором  $\sigma_{xx} = \sigma_{xy}$  [3] (естественно, в магнитных полях, удовлетворяющих условию установления квантового предела и сильно превосходящих поле замагничивания электронов); г) поле появления активационной температурной зависимости сопротивления [3].

Поскольку во всех моделях перехода предполагается, что в полях выше  $H_c$   $\rho_{xx}(T)$  и  $\rho_{zz}(T)$  должны удовлетворять соотношению  $\rho_{ii} = \rho_{0ii} \exp[\epsilon(H)/kT]$ , где  $\epsilon(H)$  — растущая с увеличением магнитного поля энергия активации, нам представляется наиболее естественным определять  $H_c$  как поле, в котором  $\epsilon(H)$  обращается в нуль, т. е.  $\epsilon(H) \rightarrow 0$  при  $H \rightarrow H_c + 0$ . Однако достаточно полные температурные зависимости были получены далеко не во всех работах, кроме того, даже при наличии подобных зависимостей  $\rho_{ii}(T)$  выделить единую температурную экспоненту в широком интервале температур оказалось достаточно сложно и удалось не всем авторам. Дело в том, что как в продольное, так и в поперечное магнитосопротивление могут давать вклад, по крайней мере, два механизма проводимости [1, 3]; кроме того, при малых значениях  $\epsilon(H)/kT$  существенный вклад в температурную зависимость сопротивления может давать предэкспонента. <sup>2</sup> Отсюда, в частности, ясно, что определение поля перехода как поля, в котором появляется температурная зависимость сопротивления [2], нельзя признать удачным. Ведь при малых  $\epsilon_F$  температурная зависимость сопротивления, связанная с зависимостью от температуры подвижности, может наблюдаться и с металлической стороны перехода. К тому же поле, в котором обнаруживается эта зависимость, сильно зависит от точности эксперимента.

Определение  $H_c$  по наблюдаемому в эксперименте спаду  $R_H$  с ростом магнитного поля, который характерен для случая двух типов носителей, обосновывается в рамках модели локализации во флуктуационном потенциале [4] и поэтому не может носить общего характера. Отметим также, что спад  $R_H(H)$  может определяться вкладом дополнительных механизмов проводимости.

При построении зависимости  $H_c(K)$  мы стремились определять поле перехода через зависимость  $\epsilon(H)$ . В тех случаях, когда данных для этого не хватало, для нахождения  $H_c$  мы использовали следующие соображения. В металле при  $\omega_H \tau \gg 1$  ( $\omega_H$  — циклотронная частота), что заведомо выполняется в квантовом пределе,  $\sigma_{xy} \gg \sigma_{xx}$ . С диэлектрической стороны перехода, как показывают эксперимент и модельные рассуждения в случае локализации во флуктуационном потенциале [3] и магнитного вымораживания [5], выполняется обратное неравенство  $\sigma_{xx} \gg \sigma_{xy}$ . Поэтому условие  $\sigma_{xx} \approx \sigma_{xy}$  можно использовать для определения значения поля перехода, которое обозначим  $H'_c$ . Проанализируем связь между  $H_c$  и  $H'_c$ . Как уже указывалось, с диэлектрической стороны перехода  $\rho_{xx} = \rho_{0xx} \exp[\epsilon(H)/kT]$ ,  $\rho_{xy} = R_H H$ , а  $R_H \sim \text{const}$ . Следовательно, при  $T \rightarrow 0$  сразу за переходом  $\rho_{xx} \gg \rho_{xy}$ . Поэтому  $\sigma_{xx} = \rho_{xx}/(\rho_{xx}^2 + \rho_{xy}^2) \gg \sigma_{xy} = \rho_{xy}/(\rho_{xx}^2 + \rho_{xy}^2)$  и  $H'_c \rightarrow H_c$  при  $T \rightarrow 0$ .

Из приведенных рассуждений видно, что

$$\epsilon(H'_c) = kT \ln(\rho_{xy}/\rho_{0xx}). \quad (5)$$

В случае локализации электронов во флуктуационном потенциале энергия активации определяется энергетическим зазором между уровнем протекания  $\epsilon_p$

<sup>2</sup> Обычно проводимость хорошо аппроксимируется формулой  $\sigma_{ii} = \sigma_{0ii} \exp[-\epsilon(H)/kT] + \sigma_2$  [1, 3].

и уровнем Ферми  $\epsilon_F$ ,  $\epsilon(H) = \epsilon_p - \epsilon_F$ . Как уже отмечалось, в нашем случае  $\epsilon_F \sim 1/H^2$ , и поэтому из (5) следует

$$H'_c(T) = H'_c(0) \frac{1}{\left(1 - \frac{kT}{E'}\right)^{1/2}}, \quad (6)$$

где  $E' = \epsilon_p / \ln [\rho_{xy}(H, T) / \rho_{0xx}(H, T)]$ . В общем случае величина  $E'$  является слабо зависящей функцией  $H$  и  $T$ , однако в первом приближении эту слабую зависимость, по-видимому, можно не учитывать. Представленная на рис. 1 экспериментальная зависимость  $H'_c(T)/H'_c(0)$  для трех образцов  $n\text{-Cd}_x\text{Hg}_{1-x}\text{Te}$  находится в качественном согласии с этими рассуждениями [сплошная линия соответствует соотношению (6)]. Всегда, когда проводились подробные температурные измерения, эксперимент показывал, что значения  $H'_c$  и  $H'_c(0)$  совпадают.

Перейдем теперь к анализу зависимости  $H_c(K)$ . На рис. 2 приведена зависимость

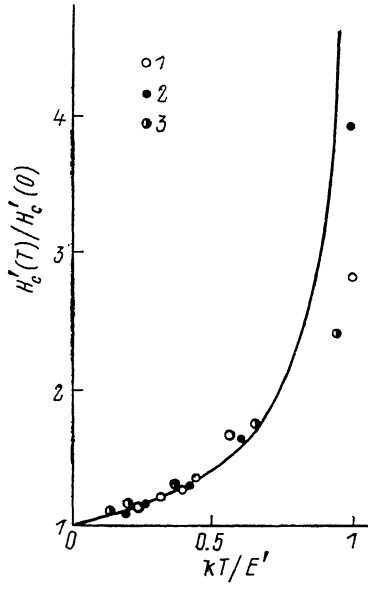


Рис. 1. Зависимость отношений  $H'_c(T)/H'_c(0)$  от приведенной температуры  $kT/E'$  для трех (1—3) образцов  $n\text{-Cd}_x\text{Hg}_{1-x}\text{Te}$  с разными параметрами.

$x$ : 1 — 0.214, 2 — 0.21, 3 — 0.18;  $n \cdot 10^{-14}$ , см $^{-3}$ : 1 — 2.7, 2 — 1.34, 3 — 7.4;  $H_c$ , кО: 1 — 4.8, 2 — 2.8, 3 — 19;  $H'_c(0)$ , кО: 1 — 4.8, 2 — 2.7, 3 — 21;  $E'$ , мэВ: 1 — 0.52, 2 — 0.86, 3 — 1.3.

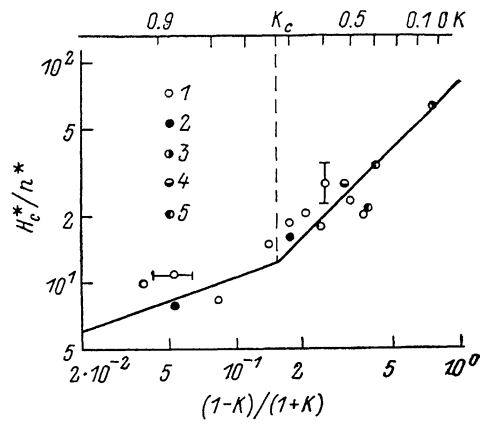


Рис. 2. Зависимость отношения приведенных поля перехода  $H_c^*$  и концентрации электронов  $n^*$  от степени компенсации  $K$  для различных образцов. Точки получены по данным работ: 1 — настоящей работы, 2 — [8], 3 — [5], 4 — [2], 5 — [1].

$(H_c^*/n^*)(K)$ , построенная на основании как наших, так и литературных данных. Степень компенсации вычисляется из значения подвижности при гелиевой температуре по формуле Брукса—Херинга в предположении, что рассеяние происходит на ионизованных примесях. Видно, что в соответствии с (3), (4) поле перехода убывает с ростом  $K$ , чего, по-видимому, не следует ожидать в случае вигнеровской кристаллизации и образования вязкой электронной жидкости [8]. Более того, экспериментальные данные неплохо согласуются с теоретическими зависимостями, определенными по соотношениям (3), (4) (сплошная линия на рис. 2). Соответствует теоретическому и экспериментальному значению критической компенсации  $K_c$ , при котором происходит переход от случая классической к случаю квантовой локализации. В рассматриваемом диапазоне концентраций электронов расчет дает  $K_{c\text{теор}} \sim 0.8$ , что согласуется с экспериментальным значением  $K_c = 0.73$  (рис. 2).

Итак, экспериментальные данные противоречат модели вигнеровской кристаллизации индуцированного магнитным полем перехода металл—диэлектрик и показывают, что в широкой области параметров переход описывается локализацией во флуктуационном потенциале; при  $K \rightarrow 0$  (например,  $K=0.14$  — край-

няя правая точка на рис. 2) данные могут быть описаны и в модели магнитного вымораживания [9].

Таким образом, переход по модели флуктуационного потенциала наиболее типичен для кристаллов  $Cd_xHg_{1-x}Te$ .

#### Л и т е р а т у р а

- [1] Gebhard J., Nimtz G., Schlicht B., Stadler J. P. — Phys. Rev. B, 1985, v. 32, N 8, p. 5449—5452; Stadler J. P., Nimtz G., Schlicht B., Remenyi G. — Sol. St. Commun., 1984, v. 52, N 1, p. 67—69.
- [2] Shayegan M., Drew H. D., Nelcon D. A., Tedrow P. M. — Phys. Rev. B, 1985, v. 31, N 9, p. 6123—6126.
- [3] Аронзон Б. А., Копылов А. В., Мейлихов Е. З. — ФТП, 1986, т. 20, в. 8, с. 1457—1462.
- [4] Цидильковский И. М., Арапов Ю. Г., Давыдов А. Б., Зверева М. Л. — Письма ЖЭТФ, 1986, т. 44, в. 2, с. 80—82; Арапов Ю. Г., Давыдов А. Б., Зверева М. Л., Стafeев В. И., Цидильковский И. М. — ФТП, 1983, т. 17, в. 8, с. 1392—1396.
- [5] De Vos G., Herlach F., Myton H. W. — Sol. St. Commun., 1986, v. 19, N 10, p. 2509—2518.
- [6] Муразин С. С. — Письма ЖЭТФ, 1986, т. 44, в. 1, с. 45—47.
- [7] Шкловский Б. И., Эфрос А. Л. — ЖЭТФ, 1973, т. 64, в. 6, с. 2221—2231.
- [8] Цидильковский И. М. — УФН, 1987, т. 153, в. 1, с. 3—60.
- [9] Арапов Ю. Г., Давыдов А. Б., Зверева М. Л., Стafeев В. И., Цидильковский И. М. ФТП, 1983, т. 17, в. 8, с. 1392—1396.

Получена 23.06.1987  
Принята к печати 15.12.1987